МЕХАНИКА И МАШИНОСТРОЕНИЕ

УДК 62.242; 62.232.1

Санаев Н. К.

МЕХАНИЗМ ОБРАЗОВАНИЯ ПОГРЕШНОСТЕЙ МЕХАНИЧЕСКОЙ ОБРАБОТКИ ПОРШНЯ И ШАТУНА

Sanaev N.K.

THE MECHANISM OF FORMATION OF ERRORS MACHINING OF THE PISTON AND CONNECTING ROD

Приведены исследования, позволяющие раскрыть механизм образования погрешности осевых размеров поршней и шатунов судовых малоразмерных дизелей с целью совершенствования технологии процесса изготовления и стабилизации геометрических параметров.

Ключевые слова: погрешность, чистовая обработка, точность, поршень, базирование, закрепление, податливость, технологическая система.

Researches allowing to expose the mechanism of error formation of the axial piston sizes of ship small-sized diesels rods for the purpose of improvement of production process technology and stabilization of geometrical parameters are given.

Key words: error, finishing, precision, piston, basing, fastening, pliability, technological system.

Поршень судового малоразмерного дизеля (в дальнейшем СМД) работает в чрезвычайно тяжелых условиях, характеризующихся: воздействием высокого давления газов $6.5 \div 8.35$ МПа; контактом с горячим рабочим телом с температурой от $300^0 - 2200^0$ К; движением с переменной по величине и направлению скоростью.

Как известно, к поршню предъявляют повышенные требования, в том числе к диаметральным размерам тронковой части и отверстий в бобышках под поршневой палец.

Сравнение погрешностей до и после чистовой обработки показало, что отмечается определенная корреляционная связь, вследствие копирования погрешностей (табл. 1).

Таблица 1 - Уравнения корреляционных связей погрешностей формы поршня по ходу технологического процесса

| Исследуемые операции | Пояса измерений, рис. 14 | Уравнения, мм | Коэффициент корреляции |
|----------------------|--------------------------|---|---------------------------|
| 3аготовка (x) | A-A | $\overline{y} = 0.002 + 0.497 \cdot \bar{x}$ | 0,15 |
| Черновое точение (у) | B-B | $\overline{y} = 0.016 + 0.3057 \cdot \bar{x}$ | 0,30 |
| | Д-Д | $\overline{y} = 0.037 + 0.16 \ \overline{x}$ | 0,316 |
| Черновое точение (х) | A-A | $\overline{y} = 0.009 + 0.482 \ \overline{x}$ | 0,216 |
| Чистовое точение (у) | B-B | $\bar{y} = 0.06 + 0.47 \ \bar{x}$ | 0,47 |
| | Д-Д | $\overline{y} = 0.011 + 0.119 \ \bar{x}$ | 0,62 |

Анализ результатов измерений размеров поршней в трех сечения A-A, B-B, Д-Д (см. рисунок 1) СМД, проведенный с помощью единовременных текущих выборок, показал, что на каждой операции наблюдается колебание размеров, как в осевом, так и в радиальном направлениях. Некруглость (эллипсность) юбки поршня неодинакова по

высоте поршня, а наибольшая его величина в плоскости А-А. Объясняется это переменной жесткостью поршня по высоте и в поперечных сечениях.

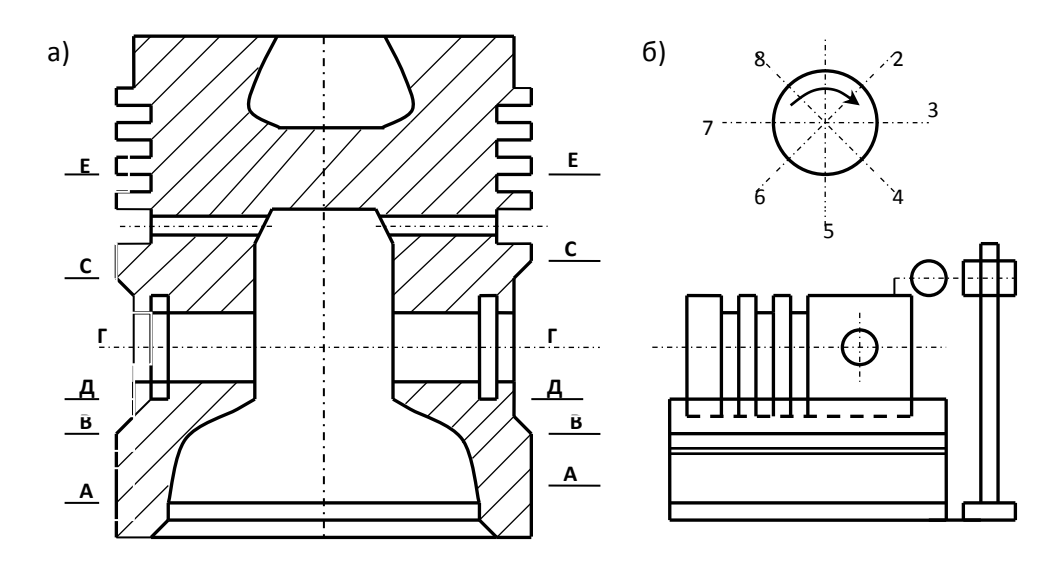


Рисунок 1 - Схема измерения поршня: а) пояса и направления; б) схема установки на призму

Отмеченное наследование конструктивной формы оказывает отрицательное влияние на точность изготовления поршня, что обуславливает необходимость принятия конструктивных и технологических мер с учетом масс и моментов инерции как по длине, так и в поперечных сечениях поршня. Так, в работе [1] показано, что: погрешность формы составляет 70% общей погрешности поршня.

Таблица 2 - Процентное соотношение моментов инерции $(H \cdot M \cdot c^2)$ в различных сечениях поршней [2]

| Тип | СЕЧЕНИЕ | | | | | | | | |
|----------|---------|-------|-------|-------|-------|-------|--|--|--|
| дизеля | A - A | B - B | Д - Д | Γ - Γ | C - C | E - E | | | |
| Ч 8,5/11 | - | 5 | 28 | 32 | 25 | 22 | | | |
| Ч 9,5/11 | - | 4,5 | 30 | 33 | 24 | 21 | | | |

Достижение перпендикулярности оси поршня от отверстий в бобышках к его образующей, является основной задачей технологического процесса и одним из важных геометрических параметров, влияющих на работу поршня.

Статистический анализ экспериментальных данных по точности указанного параметра для поршней дизелей Ч8,5/11 показал:

- в процессе изготовления поршней происходит последовательное наследование погрешностей от операции к операции;
- формирование погрешности для СМД можно представить в виде следующей зависимости.

$$\overline{\Delta}_i = 0.0152 + 0.073 \cdot \overline{\Delta}_{i-1} \cdot 10^{-2}, \text{MM}.$$
 (1)

Из выражения (1) следует, что при $\overline{\Delta}_{i-1} = 0$, то есть при отсутствии последовательного наследования погрешности, $\overline{\Delta}_i = 0.0152$ погрешность соответствует допуску на неперпендикулярность оси отверстия в бобышке поршня к образующей юбки на длине радиуса поршня. Погрешность базирования и закрепления можно принять за систематические отклонения, величины которые могут быть сведены к минимальным

значениям путем настройки системы станок – приспособление – деталь. В результате, в ходе исследований была получена следующая формула для определения погрешности Δ_i .

$$\Delta_i = 0.5 \cdot C_y \cdot HB \left[S_0^{0.75} \cdot W_{2 \max} \left(t_{\max}^{0.9} - t_{1 \min}^{0.9} \right) + S_0^{0.75} \cdot W_{\theta_{\max}} \left(t_{2 \max}^{0.9} - t_{2 \min}^{0.9} \right) \right]^{0.7},$$

Где: Су – коэффициент, характеризующий условия обработки;

 ${
m HB}$ — твердость обрабатываемого материала равный для поршней из алюминиевого сплава ${
m AK4-1~FOCT~4784-65~HB=100\div140}$ единиц.

 S_0 – подача инструмента;

 $W_{2\text{max}}$ и $W_{\text{вмаx}}$ — суммарная максимальная податливость детали и борштанги в двух взаимно-перпендикулярных направлениях;

 t_{1max} и t_{2max} , t_{1min} и t_{2min} - максимальные и минимальные значения припуска для отверстий в первой и второй бобышках поршня.

После преобразований получим следующее выражение для расчета погрешности перпендикулярности осей поршня и отверстий под поршневой палец.

$$\Delta_{i} = 0.5C_{y} \cdot HB \cdot S^{0.58} \left[W_{2\max} \left(t_{1\max} - t_{1\min} \right)^{0.9} + W\hat{a}_{\max} \left(t_{2\max} - t_{2\min} \right)^{0.9} \right]^{0.77}$$
(2)

Расчеты, выполненные по разработанной формуле для СМД показали хорошую сходимость расчетных и экспериментальных данных, что позволяет рекомендовать её для использована в проектных расчетах точности.

На финишных операциях обработки отверстий в головках шатуна растачиваются на алмазно-расточных станках с одного установа одновременно двумя шпинделями. Шатун в приспособлении устанавливается на подпружиненные фиксаторы, которые входят в растачиваемые отверстия головок. Крепление производится по торцу отверстия. Для обеспечения заданного углового положения используют штифты, а в качестве базы технологический прилив верхней головки шатуна, расточка осуществляется консольными борштангами.

На расположение осей отверстий оказывают влияние также возможности станка обеспечить заданную точность, самопроизвольное смещение узлов станка, от температурных деформаций, а также погрешности приспособления, закрепления и базирования.

Таблица 3 - Результаты измерений пересечений осей верхней и нижней головок шатуна представлены

| maryila iipederasiioiisi | | | | | | | | |
|--------------------------|------------------|--|---|--|---|------|------|--|
| Д | $\frac{S'}{S''}$ | Условия | появления схем | Вероятность появления схем контакта | | | | |
| $\frac{1}{C}$ | | I | П | III | I | II | III | |
| 48,5/111 | 0,22÷16 ,7 | $0 < \frac{S'}{S''} < 0.22$ $\gamma_1 = 0.025$ рад. | $0.22 < \frac{S'}{S''} < 14.2$ $\gamma_2 = 0.001$ рад. | $14.2 < \frac{S'}{S''}$ $\gamma_3 = 0.07$ рад. | 0 | 0,85 | 0,15 | |
| H 9,5/11 | 0,23÷17 ,9 | $0 < \frac{S'}{S''} < 0.022$ $\gamma_2 = 0.027$ рад. | $0.22 < \frac{S'}{S''} < 14.2$ $\gamma_2 = 0.0001$ рад. | $14,2 < \frac{S'}{S''}$ $\gamma_3 = 0,07$ рад. | 0 | 0,79 | 0,21 | |

Как показал анализ данных таблицы 3 и статистический анализ точности, наблюдается тесная корреляционная связь между, погрешностями.

Для СМД указанную зависимость можно представить в виде:

$$\Delta_{II} = 0.012 + 0.264 \Delta_{IIK}$$
; MM.

Где Δ_{\varPi} и $\Delta_{\varPi K}$ - погрешности пересечения и перекрещивания осей отверстий в головках шатуна.

При
$$\Delta_{IIK} = 0$$
; $\Delta_{II} = 0,012$ и $\Delta_{II} = 0$ $\Delta_{IIK} = 0,045$.

В ходе выполненного в работе анализа была получена формула (3) для определения суммарной погрешности (Δ_P) , расположения осей рассматриваемых отверстий шатуна.

$$\Delta_p = 0.5 \cdot Cy \cdot HB \cdot \left[W_1^4 \cdot S_{01}^{1.5} (t_{1\text{max}} - t_{1\text{min}})^{1.8} + W_2^4 \cdot S_{02}^{1.5} (t_{2\text{max}} - t_{2\text{min}})^{1.8} \right]^{0.77} (3)$$

где: Су – коэффициент, характеризующий условия обработки;

HB – твердость обрабатываемого материала равный для шатунов из стали 40X HB = 165 единиц.

 S_{01} и S_{02} – подача инструмента при обработке поршневой (S_1) и кривошипной (S_2) головок;

 W_1 и W_2 максимальная податливость технологической системы при растачивании верхней (W_1) и нижней (W_2) головок в горизонтальном или вертикальном направлениях;

 $t_{1 max}$ и $t_{2 max}$, $t_{1 min}$ и $t_{2 min}$ - максимальные и минимальные значения припуска для отверстий в верхней /1/ и нижней /2/, головках шатуна.

В зависимости от того, в каком направлении в горизонтальном W_{1r} и W_{2r} или в вертикальном W_{1B} и W_{2B} будет рассчитано и представлено в формулу (4) значение W, получим погрешность $\Delta_{p(r)}$ или $\Delta_{p(B)}$, характеризующее пересечение или перекрещивание осей.

Податливость технологической системы можно принять равной сумме податливости детали (W_g) и податливости борштанги (W_6), а угол отклонения суммарного вектора расположения осей от вертикальной оси шатуна, обусловленное различием жесткости последнего в вертикальном и горизонтальном направлениях для СМД равным 27°.

Статическая обработка результатов измерений показала, среднее арифметическое отклонение пересечения осей составляет $\Delta_{D(\tilde{q})} = 0.0206^{MM}$ перекрещивания осей $\Delta_{P(B)} = 0.032$ мм, что соответствует углу отклонения суммарного вектора расположения осей от вертикальной оси шатуна 27 и 31⁰ соответственно. Погрешность от упругогоотжатия борштанги (д.) можно рассчитать по предлагаемой формуле:

$$\Delta_{\delta} = P_{q(\tau)} \cdot \ell_{\delta}^{3} / _{3EI}, \tag{4}$$

Где: $P_{q}(T)$ — радиальная (тангенциальная) сила резания;

Е и Ј – модуль упругости и момент инерции борштанги;

 ℓ_{δ} - длина борштанги.

Из формулы (5) следует, чем больше припуск, следовательно больше радиальная сила резания, и длина борштанги, тем выше погрешность Δ_{δ} , а увеличение модуля упругости и момента инерции способствует снижению значения погрешности от упругого отжатия борштанги (табл. 4).

Определенный интерес представляет расчетное определение формы отверстий в верхней и нижней головках при их механической обработке. Для этих целей можно воспользоваться зависимостями, предложенными в работах [3,4,5,].

Таблица 4 - Результаты, экспериментальных измерений погрешности расположения осей верхней и нижней головок 150 шатунов СМД Ч8,5/11 и Ч9,5/11

| 00011 2 | еринен | 11 11117 | кнеи голов | JOR 13 | o maryno | D C1117 | 10,5/117 | 1 17,5 | / 1 1 | | |
|---------|----------------|----------|-------------|-------------------------|------------------|------------------------|------------------|-------------------------|------------------|--------------------|------------------|
| №п/п | Откло нения | п/п | Отклонен ия | п/п № п/ п | Отклоне ния, мм. | п/п № п/п | Отклоне ния, мм. | п/п № п /п | Отклоне ния, мм. | № п /п п | Отклоне ния, мм. |
| | 1 | | 2 | | 3 | | 4 | | 5 | | 6 |
| 1 | 0,04 | 26 | 0,06 | 51 | 0,09 | 76 | 0,10 | 101 | 0,06 | 126 | 0,05 |
| 2 | 0,06 | 27 | 0,07 | 52 | 0,10 | 77 | 0,02 | 102 | 0,04 | 127 | 0,03 |
| 3 | 0,14 | 28 | 0,01 | 53 | 0,03 | 78 | 0,05 | 103 | 0,09 | 128 | 0,04 |
| 4 | 0,06 | 29 | 0,05 | 54 | 0,08 | 79 | 0,04 | 104 | 0,05 | 129 | 0,02 |
| 5 | 0,05 | 30 | 0,02 | 55 | 0,12 | 80 | 0,09 | 105 | 0,03 | 130 | 0,10 |
| 6 | 0,03 | 31 | 0,02 | 56 | 0,03 | 81 | 0,08 | 106 | 0,08 | 131 | 0,08 |
| 7 | 0,13 | 32 | 0,08 | 57 | 0,11 | 82 | 0,04 | 107 | 0,04 | 132 | 0,04 |
| 8 | 0,00 | 33 | 0,04 | 58 | 0,04 | 83 | 0,06 | 108 | 0,06 | 133 | 0,07 |
| 9 | 0,13 | 34 | 0,08 | 59 | 0,06 | 84 | 0,05 | 109 | 0,11 | 134 | 0,07 |
| 10 | 0,08 | 35 | 0,03 | 60 | 0,04 | 85 | 0,08 | 110 | 0,06 | 135 | 0,02 |
| 11 | 0,10 | 36 | 0,10 | 61 | 0,12 | 86 | 0,04 | 111 | 0,05 | 136 | 0,05 |
| 12 | 0,09 | 37 | 0,02 | 62 | 0,09 | 87 | 0,11 | 112 | 0,05 | 137 | 0,06 |
| 13 | 0,04 | 38 | 0,04 | 63 | 0,06 | 88 | 0,03 | 113 | 0,14 | 138 | 0,09 |
| 14 | 0,11 | 39 | 0,05 | 64 | 0,09 | 89 | 0,07 | 114 | 0,06 | 139 | 0,05 |
| 15 | 0,08 | 40 | 0,08 | 65 | 0,07 | 90 | 0,06 | 115 | 0,07 | 140 | 0,08 |
| 16 | 0,07 | 14 | 0,15 | 66 | 0,06 | 91 | 0,09 | 116 | 0,09 | 141 | 0,07 |
| 17 | 0,05 | 42 | 0,06 | 67 | 0,05 | 92 | 0,05 | 117 | 0,15 | 142 | 0,08 |
| 18 | 0,03 | 43 | 0,07 | 68 | 0,09 | 93 | 0,03 | 118 | 0,10 | 143 | 0,06 |
| 19 | 0,12 | 44 | 0,06 | 69 | 0,05 | 94 | 0,06 | 119 | 0,02 | 144 | 0,05 |
| 20 | 0,04 | 45 | 0,10 | 70 | 0,02 | 95 | 0,13 | 120 | 0,07 | 145 | 0,13 |
| 21 | 0,07 | 46 | 0,05 | 71 | 0,11 | 96 | 0,06 | 121 | 0,09 | 146 | 0,11 |
| 22 | 0,06 | 47 | 0,04 | 72 | 0,07 | 97 | 0,08 | 122 | 0,05 | 147 | 0,06 |
| 23 | 0,10 | 48 | 0,07 | 73 | 0,04 | 98 | 0,06 | 123 | 0,12 | 148 | 0,01 |
| 24 | 0,03 | 49 | 0,14 | 74 | 0,04 | 99 | 0,07 | 124 | 0,07 | 149 | 0,08 |
| 25 | 0,05 | 50 | 0,06 | 75 | 0,08 | 100 | 0,09 | 125 | 0,06 | 150 | 0,14 |

При этом следует иметь в виду, что на погрешность формы оказывает влияние материал обрабатываемой детали. Так, при прочих равных условиях, погрешность формы отверстия в нижней головке в 4 раза меньше, чем погрешность формы отверстия во втулке из оловянистой бронзы (Бр ОЦ10 – 2 ГОСТ 18175–72), запрессованной с натягом $45 \div 120$ мкм, в верхнюю головку шатуна. Объясняется это влиянием материала шатуна (ст. 40X ГОСТ 4543 - 71) и втулки (Бр. ОЦ10 – 2ГОСТ 18175-72).

Выполненные исследования позволяют раскрыть механизм образования погрешностей обработки основных размеров поршней и шатунов с целью разработки мероприятий по совершенствованию технологических процессов и стабилизации геометрических параметров точности.

Библиографический список:

- 1. Бочкарев В.Н. исследование и оптимизация допусков на изготовления деталей цилиндропоршневой группы судовых малоразмерных дизелей. Диссертация к.т.н. Л 1975 289с.
- 2. Булатов В.П. Исследование и оптимизация параметров точности и технологических методов формирования поверхностей трения деталей цилиндропоршневой группы судовых дизелей: Автореферат диссертации, д.т.н. Л.,1981 36с.
- 3. Артомонова Е.С. Поноровская Е.В. Черный А.П., Точность формы поперечного сечения при тонком растачивании Станки и инструмент., 1977с. 4 10.
- 4. Дамский А.М. Технология обеспечения надежности высокоточных деталей машин. М. Машиностроение.1975. 223с.
- 5. Капустин Н.М. Разработка технологических процессов обработки деталей на станках с помощью ЭВМ. М., Машиностоение,1976 288с.

УДК 621.882.085/.086.004

Вагабов Н.М., Курбанов А.З.

ОБОСНОВАНИЕ И РАЗРАБОТКА КОМБИНИРОВАННОГО ИНСТРУМЕНТА ЗЕНКЕР-МЕТЧИК С НОВОЙ СХЕМОЙ РЕЗАНИЯ

Vagabov N.M., Kurbanov A.Z.

EXPLANATION END DEVELOPMENT OF COMBINED TOOL CORE DRILL TAP WITH THE NEW CUTTING SCHEME

Приведены результаты исследования процесса изготовления резьбы в труднообрабатываемых материалах. Разработана новая технология с применением комбинированного зенкер-метчика, который позволяет стабилизировать припуск под дальнейшую обработку, исправить ось отверстия и обеспечить большую жесткость инструмента. Установлены факторы, влияющие на качество и производительность изготовления резьбы, надежность и работоспособность режущего инструмента метчика. Даны рекомендации по уменьшению трения и нагрева инструмента, что обеспечит большую жесткость и стойкость.

Ключевые слова: резьба, припуск, зенкер-метчик, жесткость, стойкость, шероховатость.

The results of the research on thread making in hard-to-machine materials are given. A new technology with use of combined core drill tap allowing the stabilization of the stock for